



**Тема: Принципиальная схема получения новой энергии
на основе модели планеты Земля и шаровых конкреций
(с позиций тектоники плит)**

Тарасенко Геннадий Владимирович

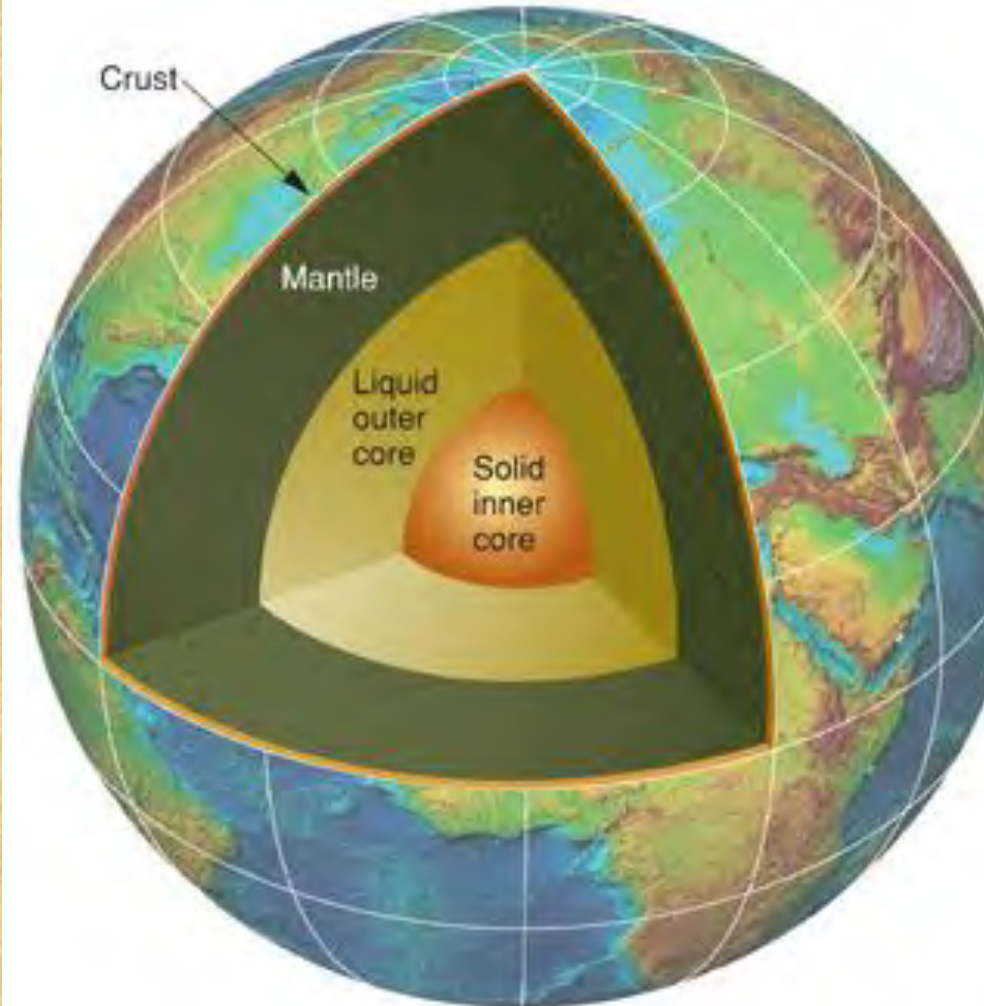
кандидат геолого-минералогических наук,

tarasenko-genadi@mail.ru

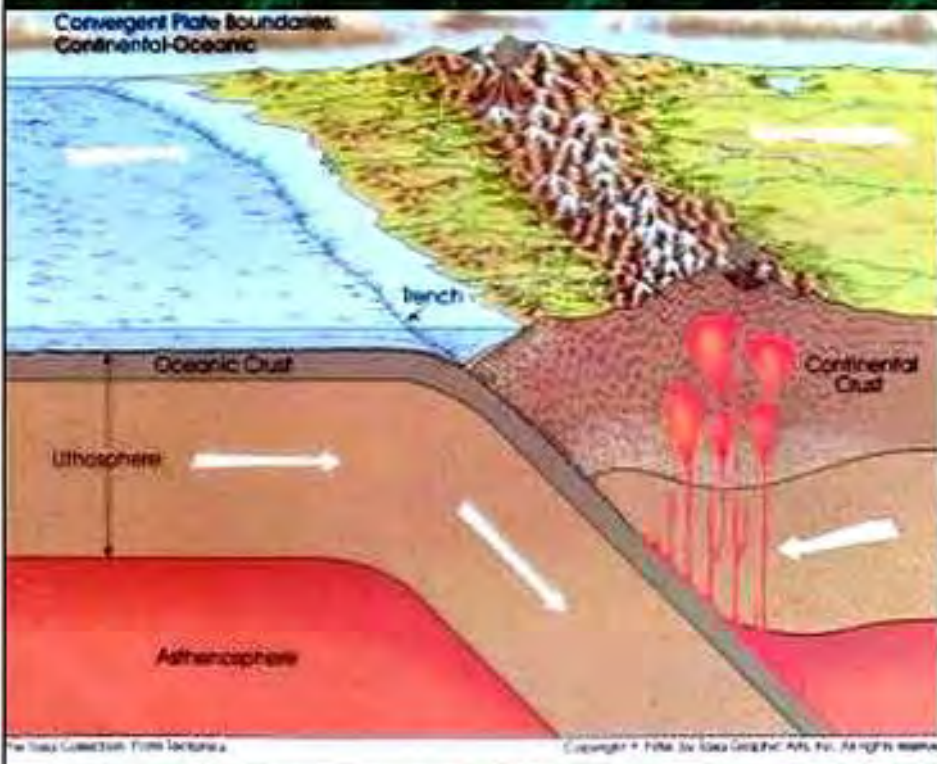
3-7 октября Москва 2022

КОНКРЕЦИОННАЯ МОДЕЛЬ ПЛАНЕТЫ ЗЕМЛЯ И ХОЛОДНЫЙ ЯДЕРНЫЙ СИНТЕЗ (ХЯС)

- Динамо-эффект планеты Земля рассматривался в разное время многими исследователями (Мельников, Бражников), но его связывали с конвекцией. Последние сейсмические и сейсмологические данные позволили изучить внутреннее устройство планеты Земля, где было выделено несколько геосфер от ядра до земной коры. Как известно, скорость вращения геосфер уменьшается от ядра до поверхности. Если скорость дрейфа континентов регистрируется данными GPS, то замер скорости нижележащих геосфер еще не разработан. Трубицин предполагает скорость мантии 1–10 м/год (1998 г.), а ядра – 1 м/сек (2003 г.)



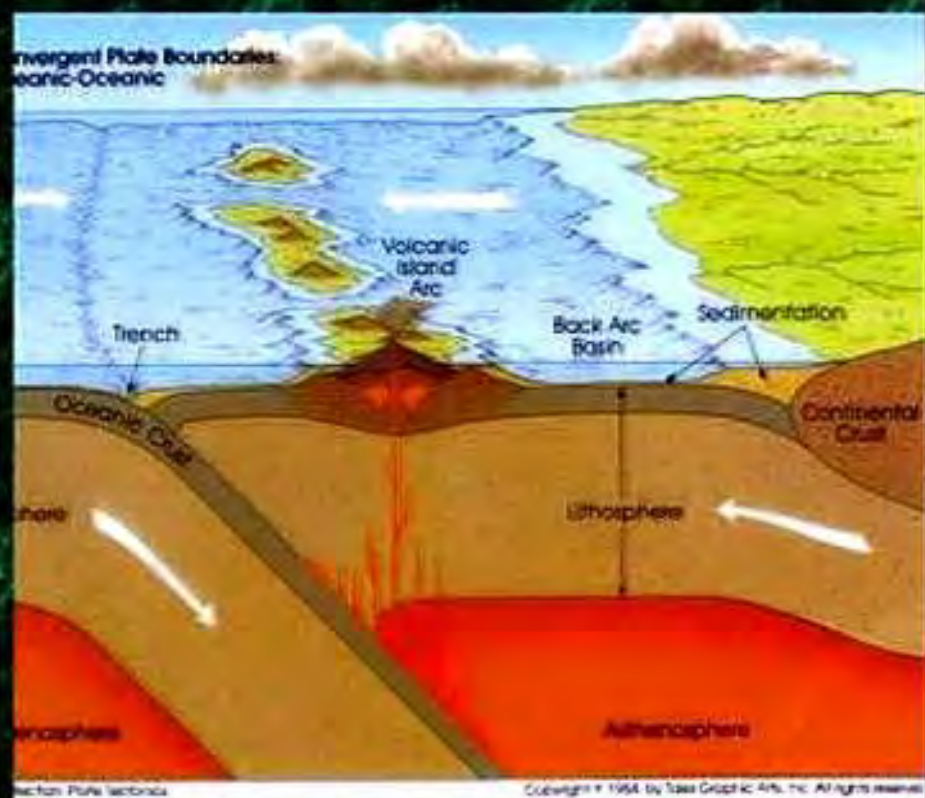
Convergent Plate Boundaries:
Continental-Oceanic



http://blue.utk.edu/paulle/physci1417/Lectures/Conv_Cont_Ocean.JPG

**Окраинно-континентальный тип
(взаимодействие океанской литосферы с
континентальной)**

Convergent Plate Boundaries:
Oceanic-Oceanic

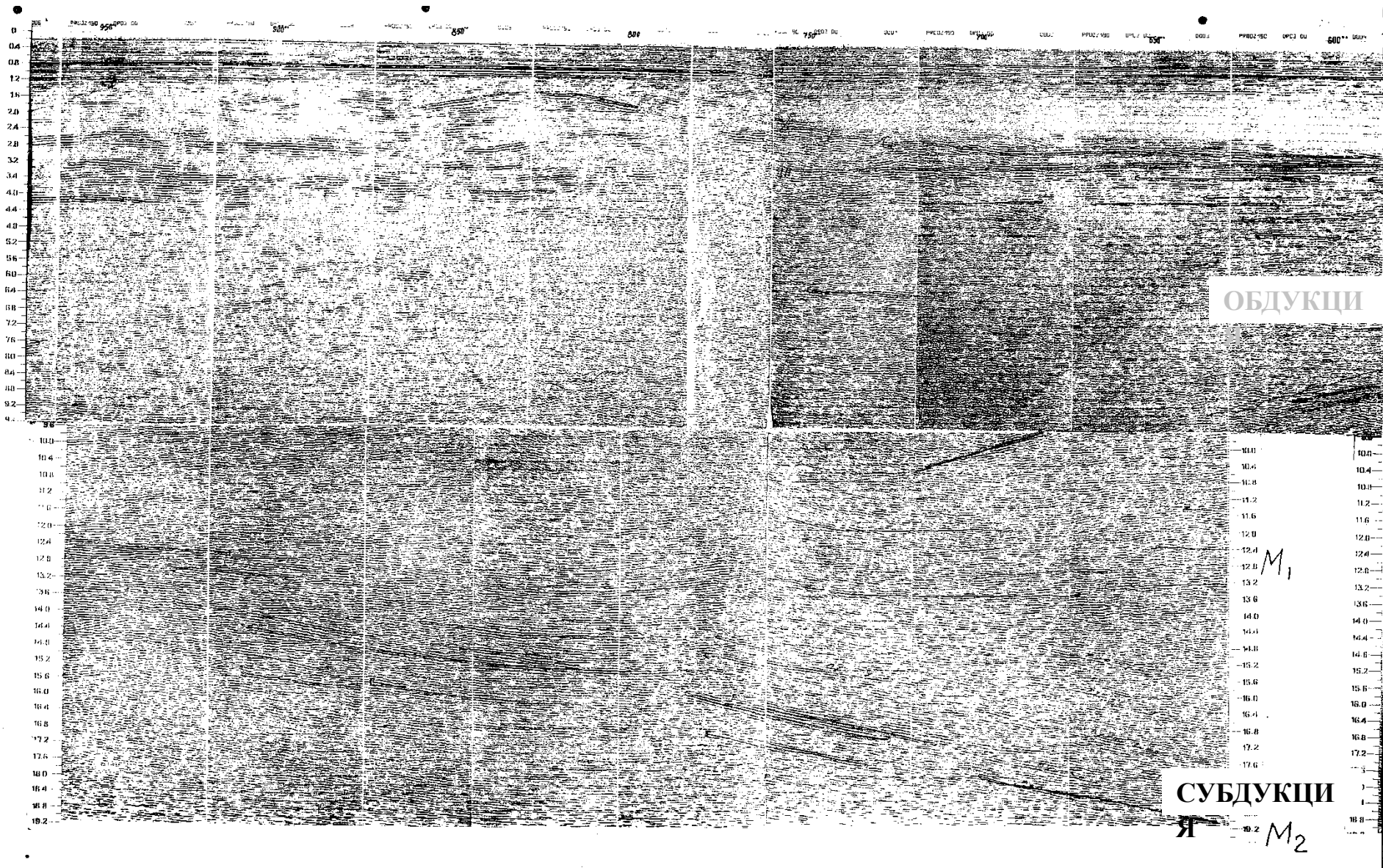


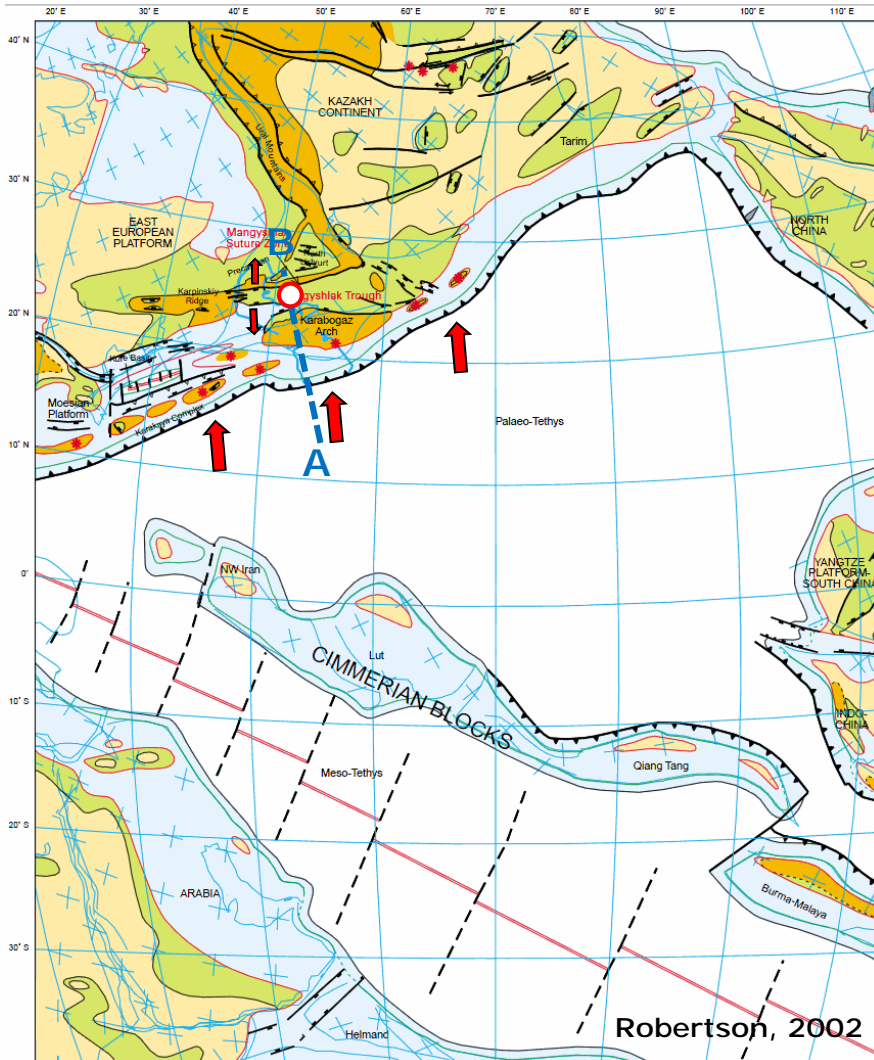
http://blue.utk.edu/paulle/physci1417/Lectures/Conv_Ocean_Ocean.JPG

**Внутриокеанский тип
(взаимодействие двух плит с океанской
литосферой)**

СЕЙСМИЧЕСКИЙ ПРОФИЛЬ МОГТ В ЗОНЕ СОЧЛЕНЕНИЯ КРЯЖА КАРПИНСКОГО И АСТРАХАНСКОГО СВОДА

Континентальная субдукция - механизм постоянной поставки горных пород (минералов, ОРО) в мантию, что приводит к образованию флюидов, радиаторного эффекта.





Permo-Triassic: Extension, Rifting

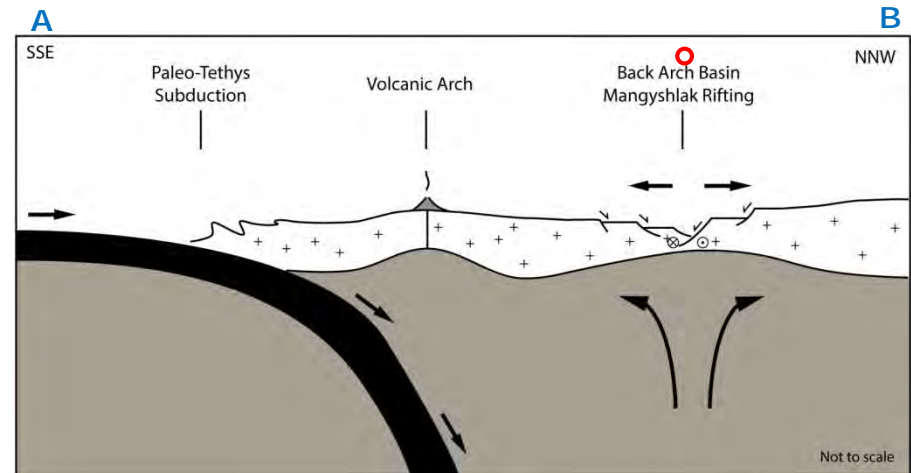
Rifting associated with volcanism in a back arch setting associated with northward subduction of Paleothethys:

- Strong tectonic subsidence, elongated half grabben
- SAG phase leading to extensive carbonate platforms?

Seismic/Facies expression:

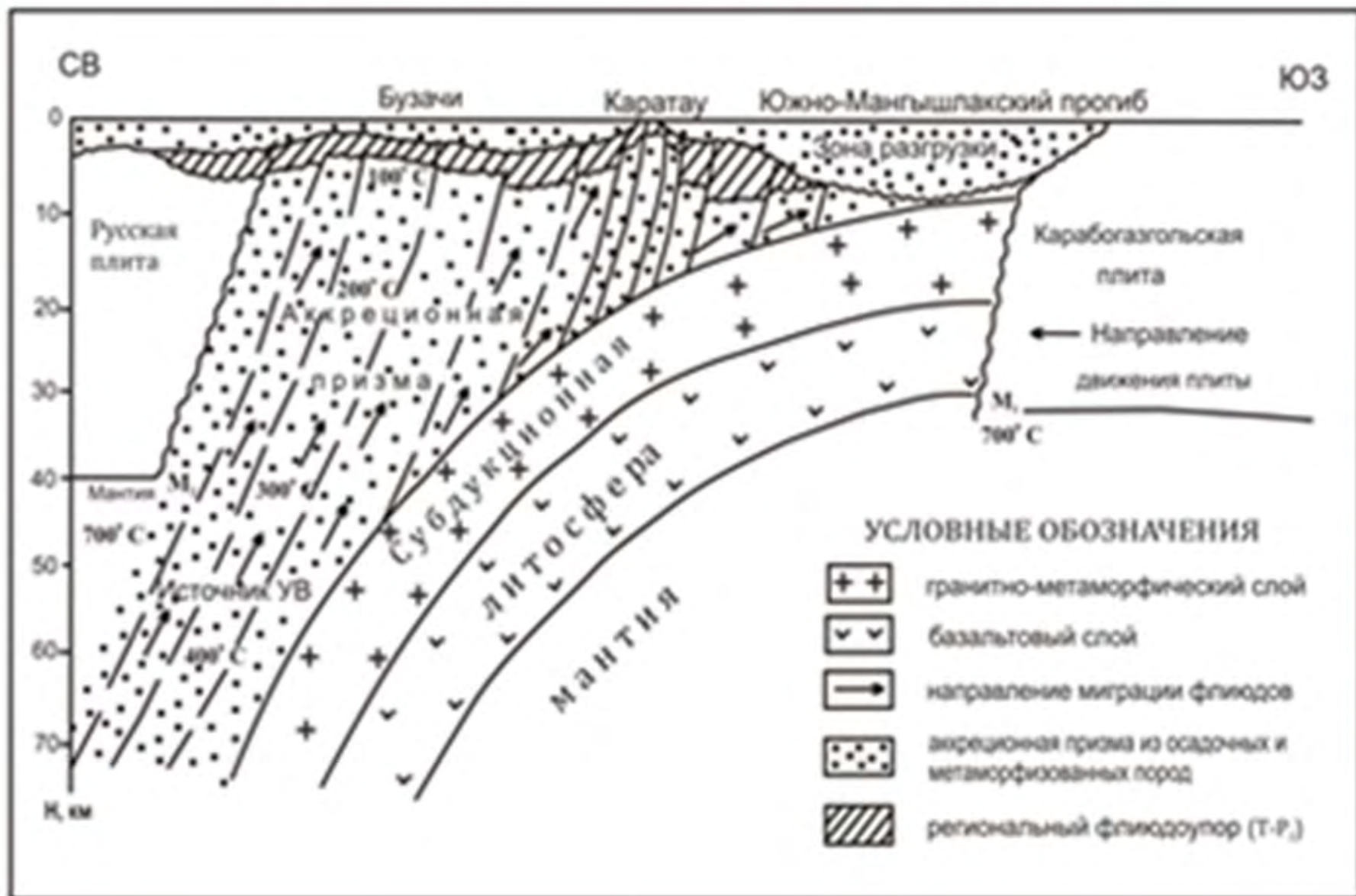
- Half grabbens complex structural setting
- Syn-rift mix clastic and carbonate deposits
- Post-rift (?) Widespread carbonate deposit

- ✓ Lower Triassic clastics reservoir
- ✓ Mid Triassic carbonate reservoir
- ✓ Upper Triassic clastics reservoir
- ✓ Intraformational Triassic seal (?)
- ✓ Syndepositional stratigraphic traps (?)

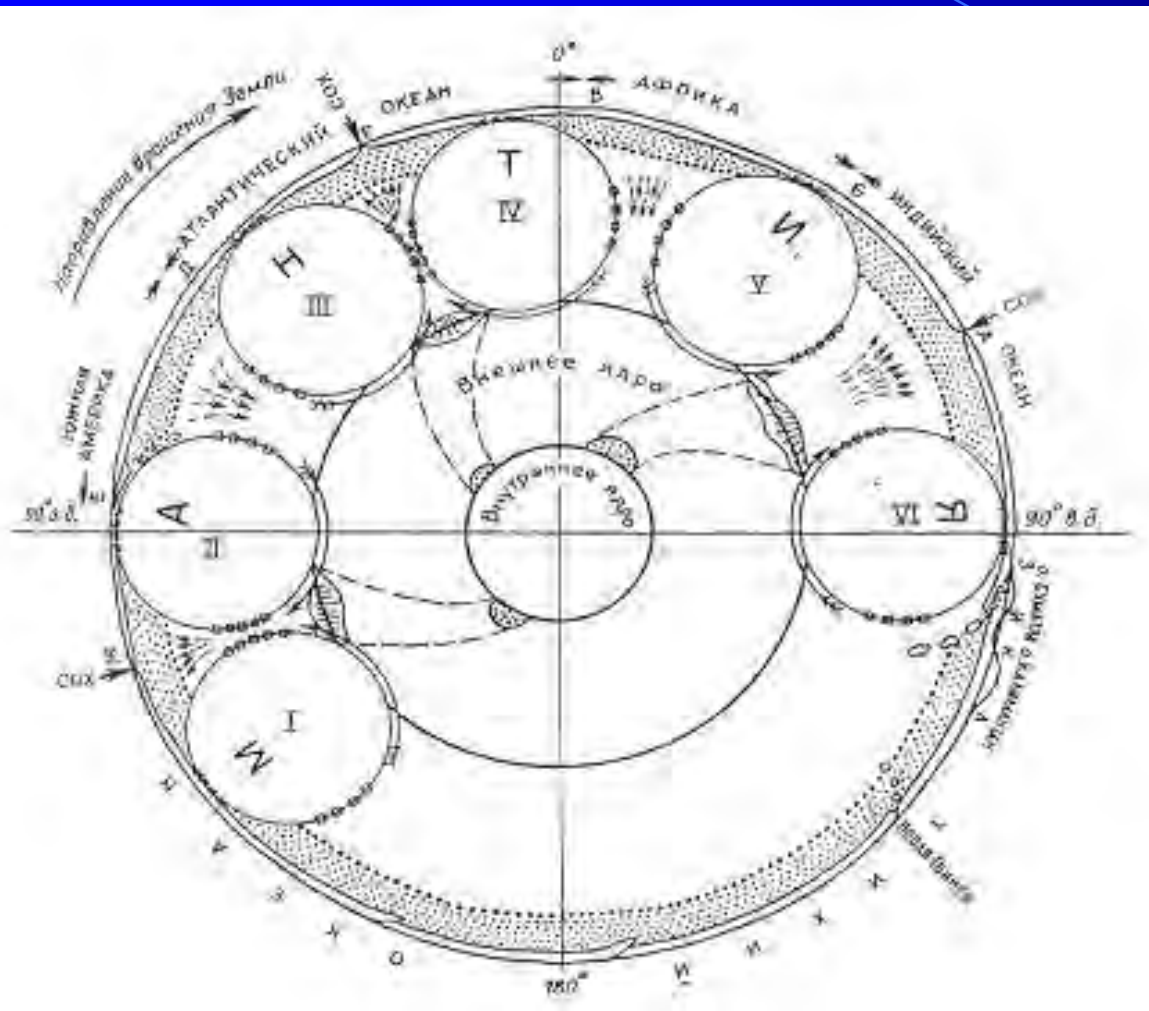


Controlling Factor: Tectonic then Eustatism

Глубинный разрез субдукционной литосферы и модель нефтегазообразования в западной части Туранской плиты



Строение планеты Земля в разрезе

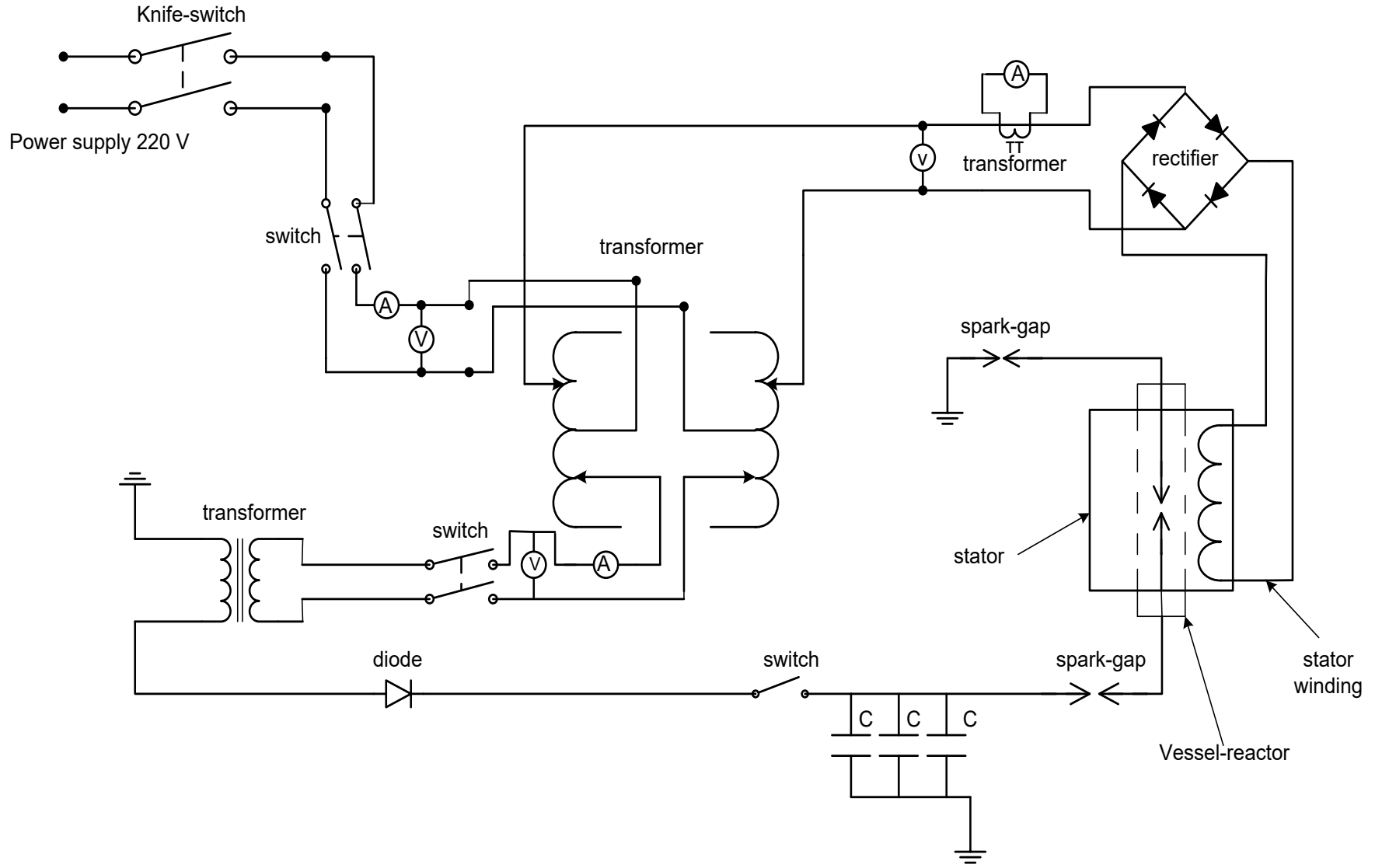


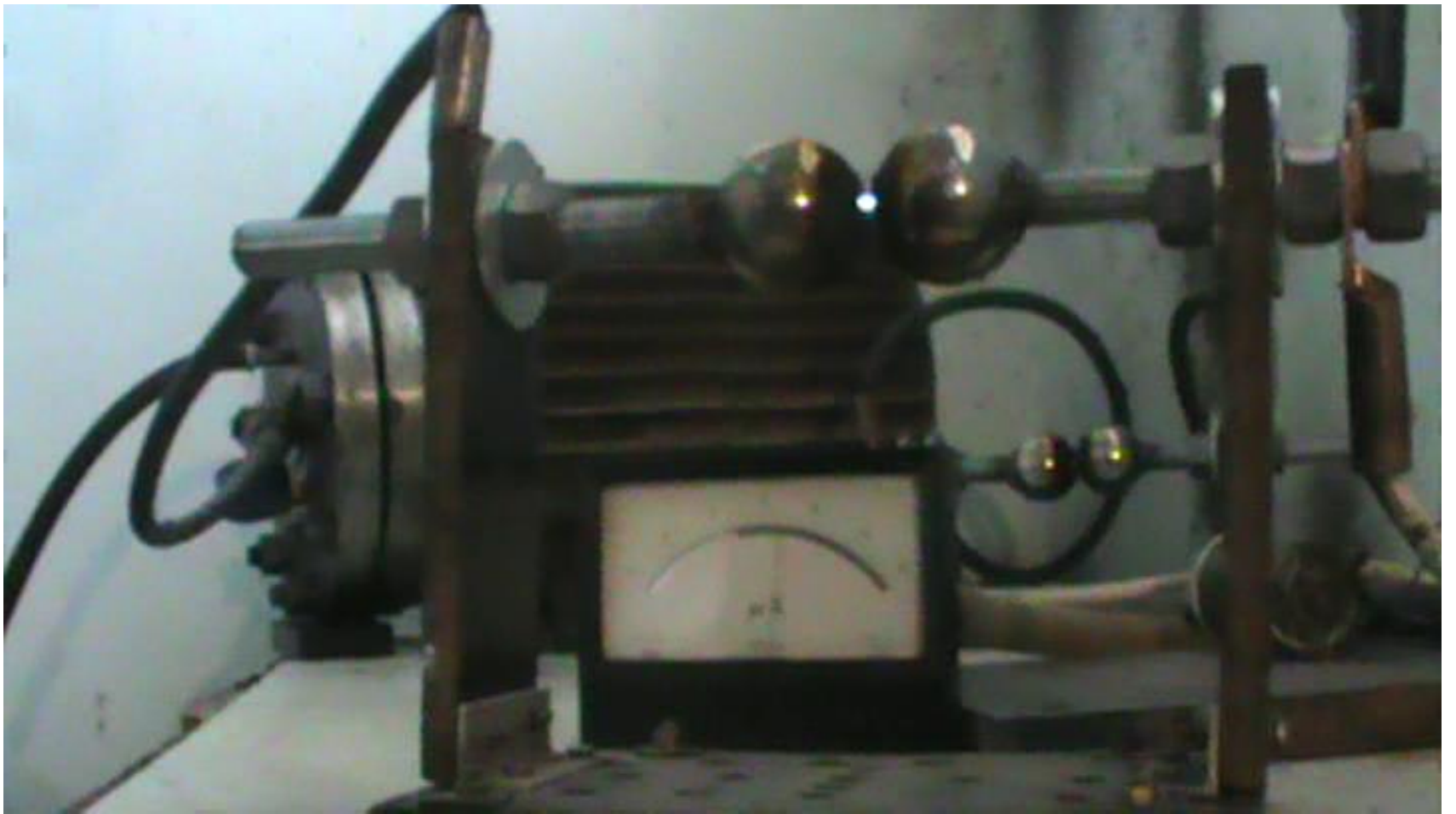
Налицо разность скоростей геосфер от ядра до поверхности. Значит, дрейф континентов происходит за счет передачи вращения ядра до поверхности. Этот процесс мною ассоциируется с передаточным механизмом в автомобиле, который в конце концов, стирается и меняется (сцепление). Этот же самый эффект и приводит к динамо-эффекту планеты Земля, что и служит генератором электричества в огромных количествах. Накопителем вырабатываемой таким образом энергии служит литосфера, имеющая свойства электрического конденсатора. Пластнами земного конденсатора служат горные породы (пласты), а прокладкой (диэлектриком), в свою очередь, являются флюиды, циркулирующие (мигрирующие) между пластами.



Механизмом подачи топлива в мантию и ядро служит процесс субдукции, где за счет ХЯС получаются флюиды, которые мигрируют в верх до поверхности земной коры. Дрейф континентов в этом случае связан с механическим процессом вращения геосфер, образующий динамо-эффект планеты Земля, а не конвекция в мантии. Появились статьи геофизиков, где указывается, что движение геосфер с раз выше, чем предполагалось ранее. Температура ядра и плазмы не должно превышать глубиной в десятки более 600°C , потому что органика выше этой температуры просто сгорела и это доказывает органическое происхождение нефти. Вода же образуется за счет синтеза неорганических химических элементов конечно больше, чем органики и ее получается больше. За счет электричества и холодного ядерного синтеза получают все вторичные полезные ископаемые типа уголь из нефти, руды из водных растворов содержащих металлы, алмазы получились из органического углерода, золото из свинца и т.д. Предлагаемая мною теория тектоники плит скольжения полностью объясняет все процессы в земной коре и подтверждает теорию дрейфа континентов, которая подвергается большой критике в современное время. Для проверки теории я проводил эксперименты по электрическим разрядам в специальном реакторе, в котором создаются пластовые условия с различными химическими элементами, где и наблюдалась их трансмутация. Но из-за отсутствия хорошо оснащенной лабораторной базы не были проведены различные спектральные и химические анализы.

Эта электрическая принципиальная схема исследования на сегодняшний день, до этого эта схема высоковольтной лаборатории использовалась для определения порыва высоковольтных кабелей.









Мини-планета ЗЕМЛЯ. Шаровая конкреция также состоит из геосфер и ее образование связано с электроразрядами в земной коре.

Примером строения планеты Земля служат шарообразные конкреции, образованные за счет электровзрывов в нефтегазоводоносных пластах [6]. Во время электровзрыва образуются шаровые молнии, обладающие мощным электромагнитным и гравитационным полем притягивающие растворенные химические элементы из пластовых флюидов. Образование нефти связывается именно с этими процессами, но в зонах субдукции, куда постоянно поставляется органический углерод вместе с горными породами. Происходит холодная трансмутация ядер химических элементов, которые вступают в реакцию и образуют новые соединения, в том числе воду, нефть, различные газы и т.д.



Доказательством этих процессов служат палинологические исследования флюидов, где спора и пыльца может сохраняться до 600 градусов, а по отражательной способности витринита не превышает 300 градусов, что доказывает реакции холодного синтеза в мантии и ядре планеты Земля





Электрическое производное шаровых молний приводит к образованию шаровых и линейных конкреций, которые мы видим на полях Мангистауской области и других районов мира. Появление конкреций во всем мире подталкивают нас на их изучение, которое может привести к получению новой энергии. Планета Земля «холодная», давление и температура создается земным электричеством, электрическими разрядами, а также трением вращения геосфер от ядра, состоящего из плазмы холодного ядерного синтеза (ХЯС) с большим содержанием окиси железа (Fe_2O_3), можно сказать остатки газопылевой туманности, из которой образуются планеты солнечной системы и также других систем. За счет вращения ядра происходит трение геосфер, плит, геолитодинамических комплексов (пластов), создающие электрические заряды в земной коре, которые накапливаются в земном электроконденсаторе (1 Фарада) и в то же время она обладает свойствами радиатора планеты Земля. А в радиаторе мы знаем, что температура постоянная. Значит флюиды (вода, нефть, газ) являются радиаторной жидкостью (типа тосол) для отвода тепла от трения геосфер и процессов холодного ядерного синтеза. И таким механизмом служит цикл Уилсона в теории тектоники плит.

















Мой второй доклад от 13 ICCF в Дагомысе



18 02

Welcome attending ICCF13 - 13th International Conference on Condensed Matter Nuclear Science



16th International Conference on
Condensed Matter Nuclear Science

February 6th to 11th 2011

GRT Convention Centre

(www.iscmns.org/iccf16)



На 22 ICCF был постерный доклад



Все говорят о различных палинологических данных, на которых основаны шаровые конкреции, что как сферы накручивались друг на друга.





Торнадо над Каспием хорошие спутники шаровых конкреций, которые закручивались на уровне пластов от нуля до 1-5 км. под землей



Эти торнадо закручиваются возле самих крупных месторождений Кашаган и Тенгиз на берегу. Все это приводит к различным тектоническим проблемам.



Эти конкреции тянутся на многие километры и эти торнадо как раз могут быть грозами под землей, которые и закрутили конкреции.











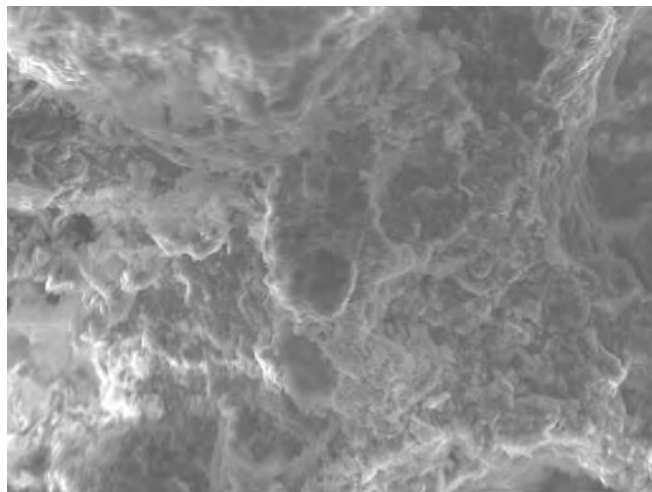




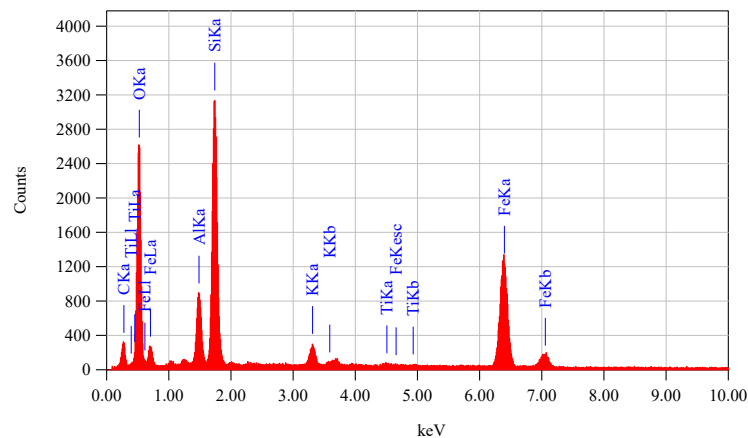
Конкреции забиты песком внутри самой железомарганцевой конкреции. Как они там могли оказаться.







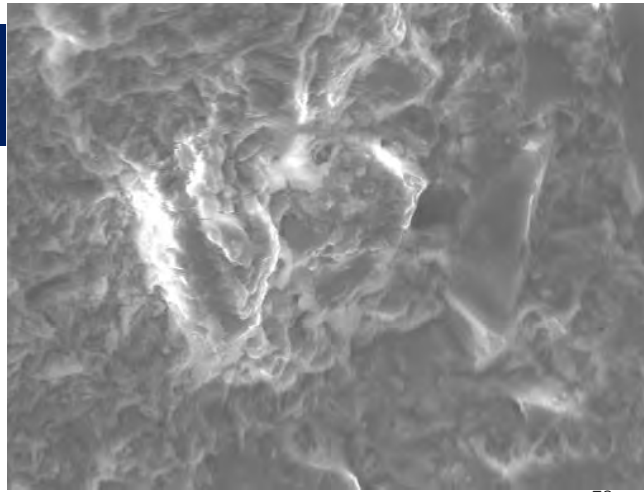
Title : IMG1
 Instrument : 6480(LA)
 Volt : 30.00 kV
 Mag : x 600
 Date : 2012/02/14
 Pixel : 512 x 384



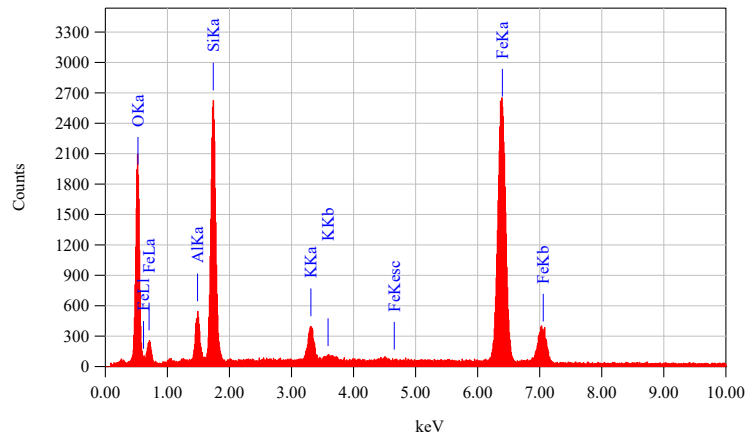
Acquisition Parameter
 Instrument : 6480(LA)
 Acc. Voltage : 30.0 kV
 Probe Current: 1.00000 nA
 PHA mode : T3
 Real Time : 61.67 sec
 Live Time : 50.00 sec
 Dead Time : 18 %
 Counting Rate: 3474 cps
 Energy Range : 0 - 20 keV

ZAF Method Standardless Quantitative Analysis
 Fitting Coefficient : 0.2039

Element	(keV)	mass%	Error%	At%	Compound	mass%	Cation
C K	0.277	17.73	0.23	25.81			K
O K	0.525	55.88	0.23	61.08			2.6454
Al K	1.486	3.50	0.07	2.27			59.3000
Si K	1.739	11.46	0.07	7.13			1.7245
K K	3.312	0.85	0.05	0.38			7.0912
Ti K	4.508	0.13	0.07	0.05			0.9301
Fe K	6.398	10.45	0.10	3.27			0.1308
Total		100.00		100.00			10.3494



Title : IMG1
 Instrument : 6480(LA)
 Volt : 30.00 kV
 Mag : x 600
 Date : 2012/02/14
 Pixel : 512 x 384

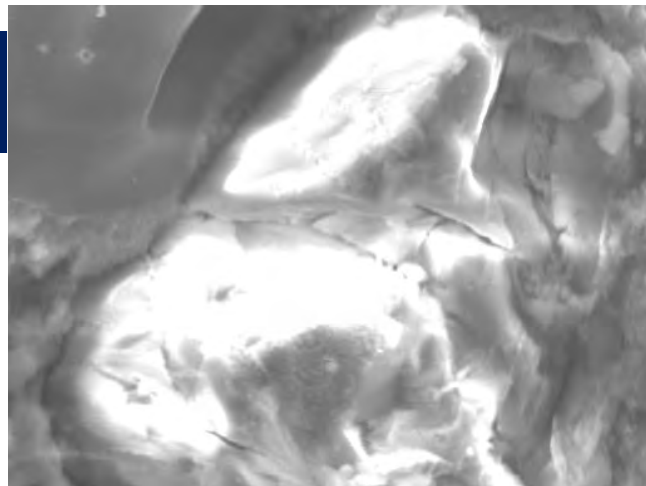


Acquisition Parameter
 Instrument : 6480(LA)
 Acc. Voltage : 30.0 kV
 Probe Current: 1.00000 nA
 PHA mode : T3
 Real Time : 64.24 sec
 Live Time : 50.00 sec
 Dead Time : 22 %
 Counting Rate: 3991 cps
 Energy Range : 0 - 20 keV

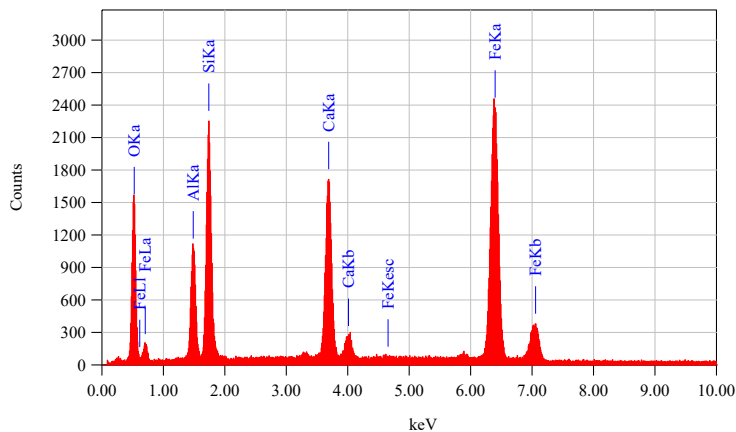
ZAF Method Standardless Quantitative Analysis

Fitting Coefficient : 0.1933

Element	(keV)	mass%	Error%	At%	Compound	mass%	Cation	K
O	K	0.525	44.40	0.20	66.82			40.2809
Al	K	1.486	3.66	0.13	3.27			0.9030
Si	K	1.739	16.80	0.11	14.40			5.4046
K	K	3.312	2.01	0.09	1.24			1.2621
Fe	K	6.398	33.12	0.15	14.28			20.2413
Total		100.00			100.00			



Title : IMG1
 Instrument : 6480(LA)
 Volt : 30.00 kV
 Mag : x 1,400
 Date : 2012/02/14
 Pixel : 512 x 384



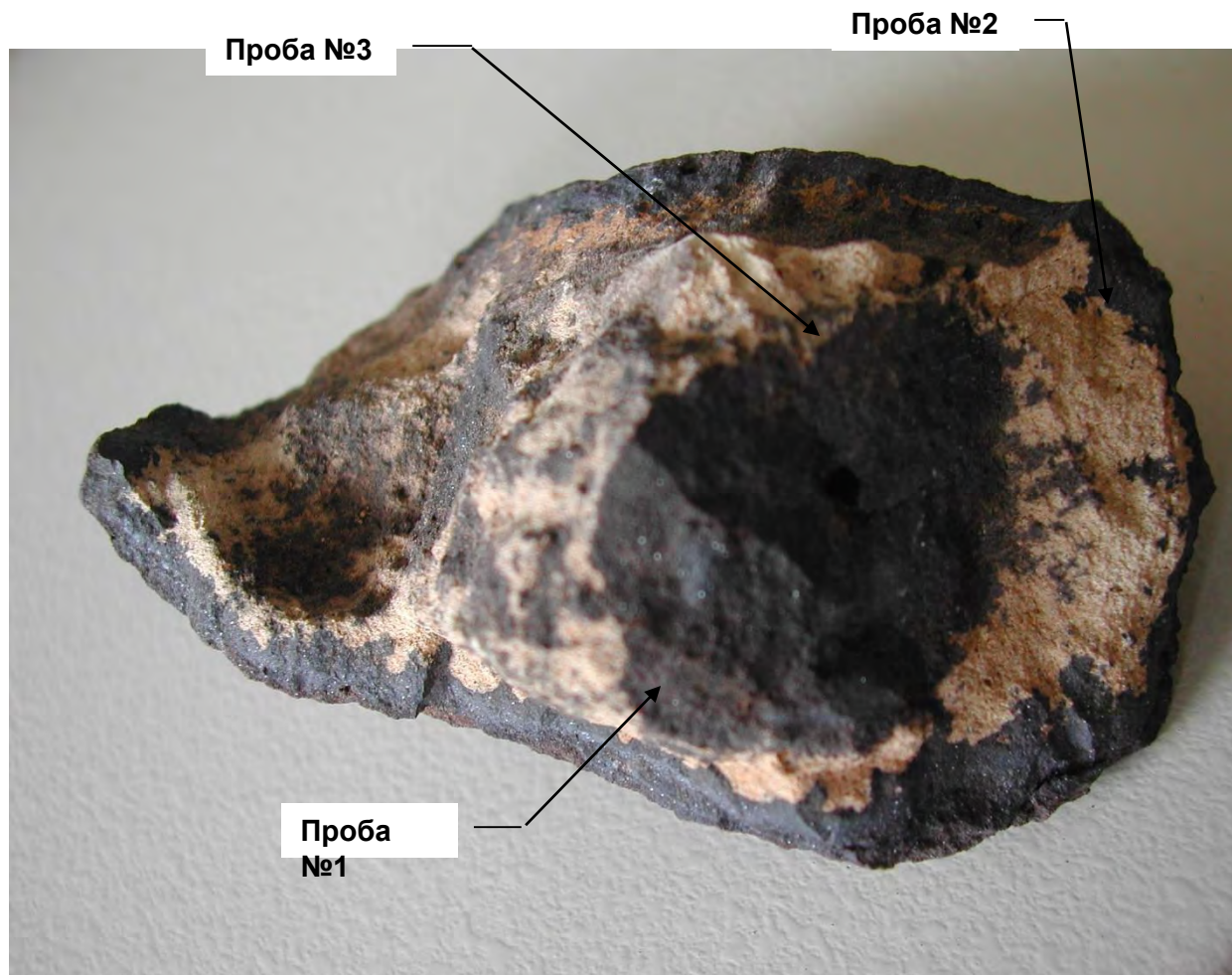
Acquisition Parameter
 Instrument : 6480(LA)
 Acc. Voltage : 30.0 kV
 Probe Current: 1.00000 nA
 PHA mode : T3
 Real Time : 68.05 sec
 Live Time : 50.00 sec
 Dead Time : 26 %
 Counting Rate: 4664 cps
 Energy Range : 0 - 20 keV

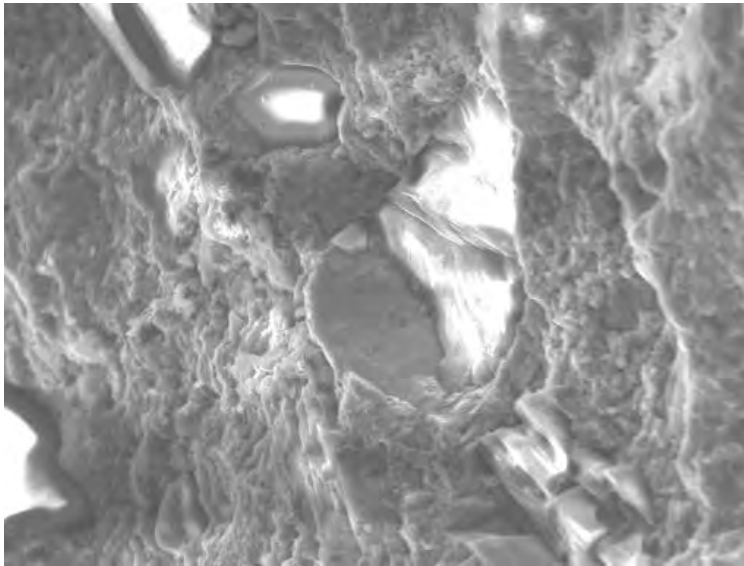
ZAF Method Standardless Quantitative Analysis
 Fitting Coefficient : 0.1729

Element	(keV)	mass%	Error%	At%	Compound	mass%	Cation	K
O K	0.525	44.03	0.21	65.88				31.5019
Al K	1.486	7.25	0.09	6.43				2.1265
Si K	1.739	12.51	0.08	10.66				4.4757
Ca K	3.690	8.97	0.06	5.36				7.1068
Fe K	6.398	27.24	0.11	11.67				18.6027
Total		100.00		100.00				

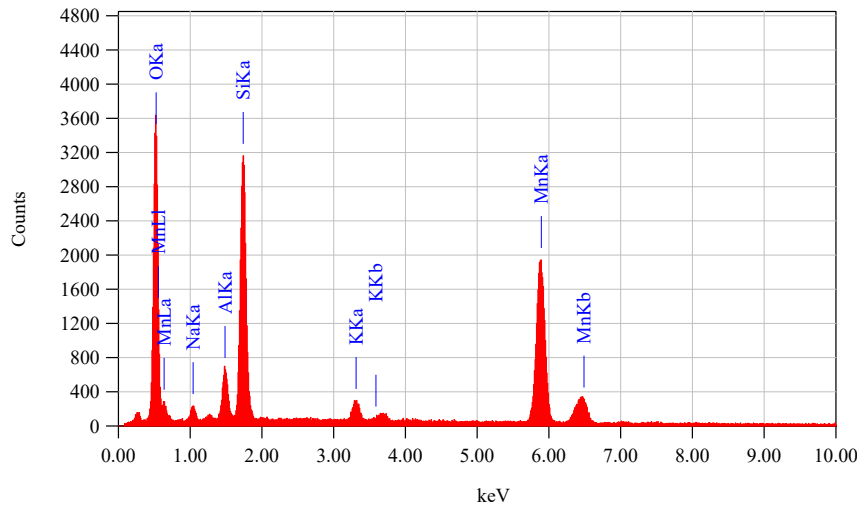
Приложение на 3-х листах спектральный и химический анализ проб №№ 1, 2, 3

Образец №2





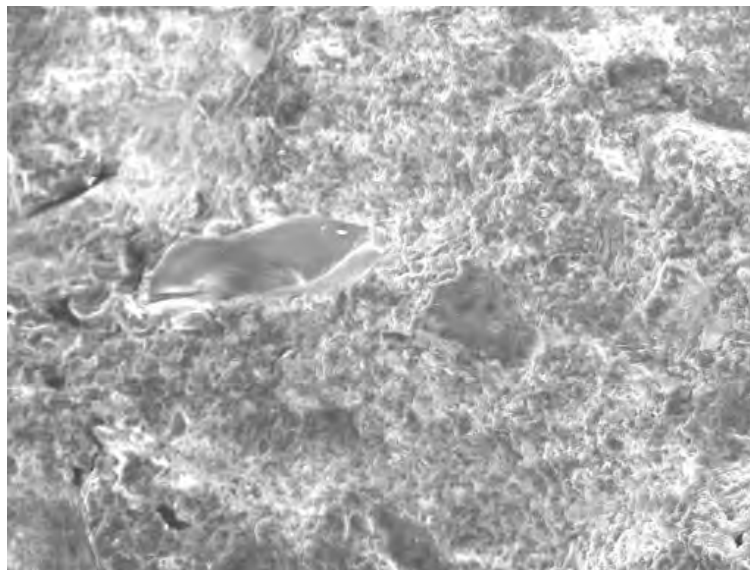
Title : IMG1
 Instrument : 6480(LA)
 Volt : 30.00 kV
 Mag : x 450
 Date : 2012/02/13
 Pixel : 512 x 384



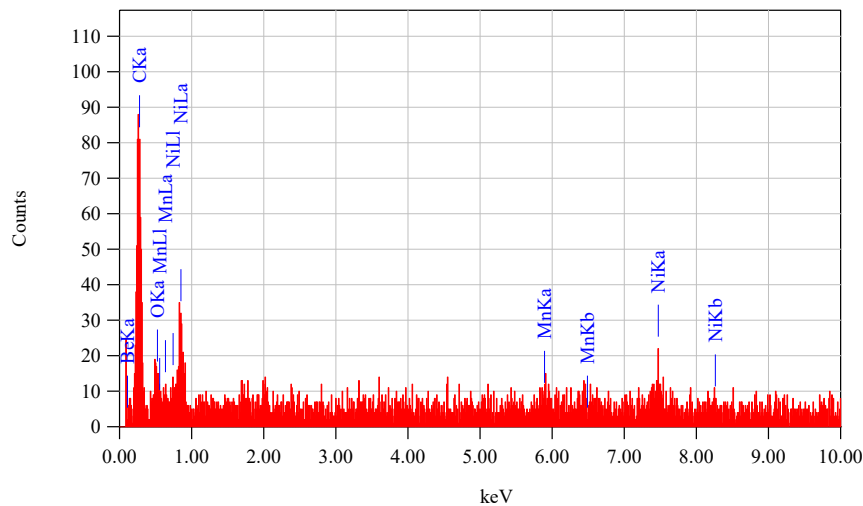
Acquisition Parameter
 Instrument : 6480(LA)
 Acc. Voltage : 30.0 kV
 Probe Current: 1.00000 nA
 PHA mode : T3
 Real Time : 61.91 sec
 Live Time : 50.00 sec
 Dead Time : 19 %
 Counting Rate: 3857 cps
 Energy Range : 0 - 20 keV

ZAF Method Standardless Quantitative Analysis
 Fitting Coefficient : 0.2346

Element	(keV)	mass%	Error%	At%	Compound	mass%	Cation	K
O	0.525	57.14	0.20	74.69				62.8470
Na	1.041	3.01	0.32	2.74				0.8043
Al	1.486	3.46	0.14	2.68				0.9857
Si	1.739	16.13	0.12	12.01				5.9024
K	3.312	1.15	0.10	0.61				0.7649
Mn	5.894	19.11	0.17	7.27				11.7388
Total		100.00		100.00				



Title : IMG1
 Instrument : 6480(LA)
 Volt : 30.00 kV
 Mag : x 300
 Date : 2012/02/13
 Pixel : 512 x 384

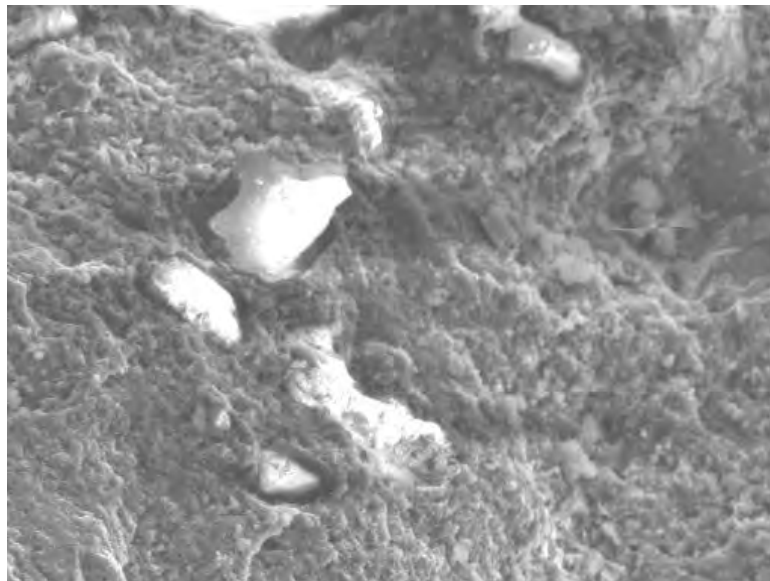


Acquisition Parameter
 Instrument : 6480(LA)
 Acc. Voltage : 30.0 kV
 Probe Current: 1.00000 nA
 PHA mode : T3
 Real Time : 50.90 sec
 Live Time : 50.00 sec
 Dead Time : 1 %
 Counting Rate: 299 cps
 Energy Range : 0 - 20 keV

ZAF Method Standardless Quantitative Analysis

Fitting Coefficient : 0.7683

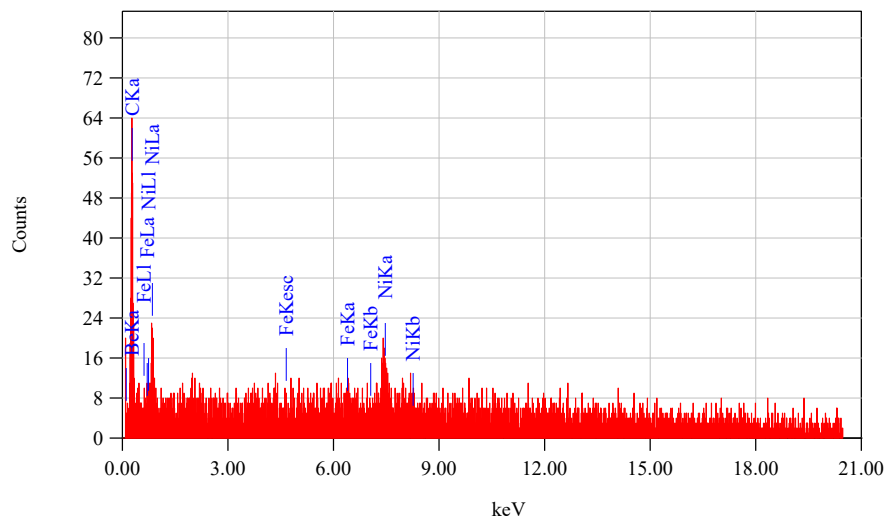
Element	(keV)	mass%	Error%	At%	Compound	mass%	Cation	K
Be K	0.110	26.94	0.09	33.12				84.5627
C K	0.277	71.62	0.16	66.06				23.2750
O K	0.525	1.10	0.06	0.76				5.1432
Mn K	5.894	0.08	0.02	0.02				0.7871
Ni K	7.471	0.25	0.02	0.05				2.2986
Total		100.00		100.00				



Title : IMG1

 Instrument : 6480(LA)
 Volt : 30.00 kV
 Mag : x 300
 Date : 2012/02/13
 Pixel : 512 x 384

0.1 mm

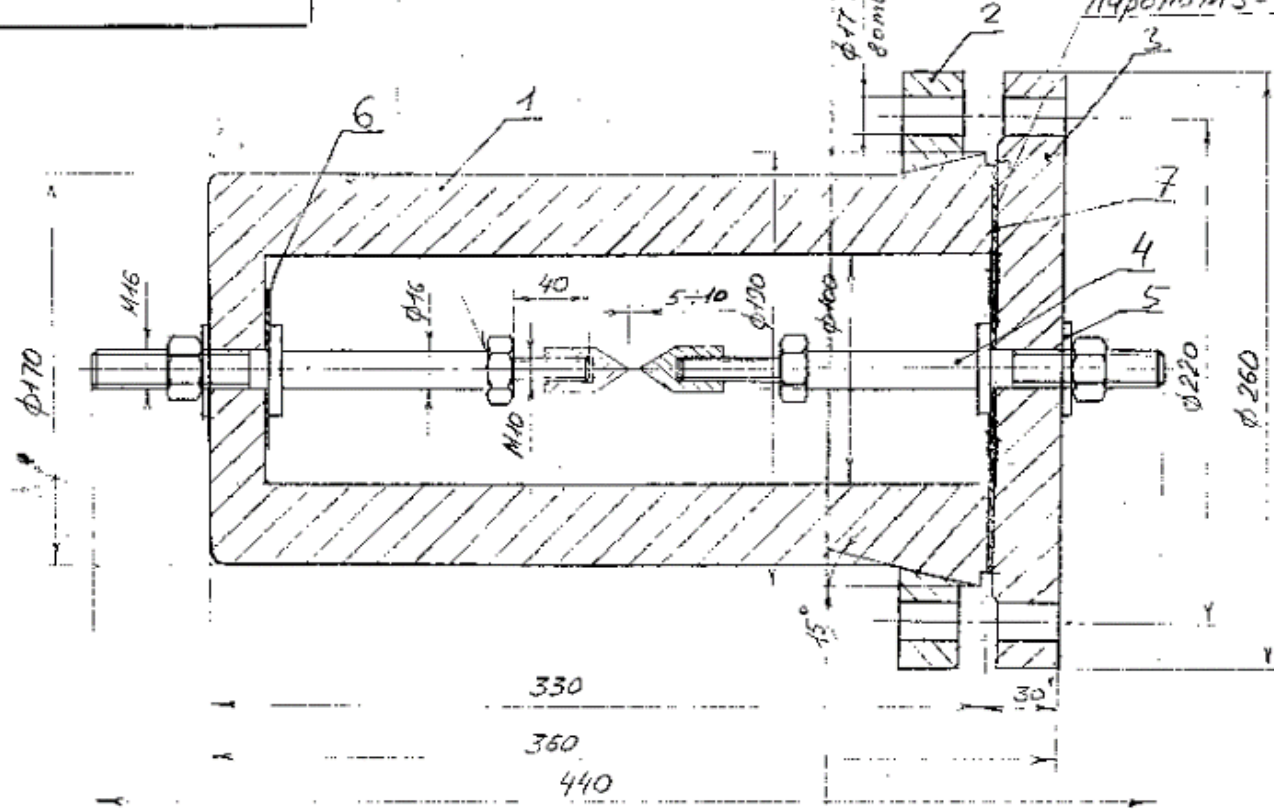


Acquisition Parameter
 Instrument : 6480(LA)
 Acc. Voltage : 30.0 kV
 Probe Current: 1.00000 nA
 PHA mode : T3
 Real Time : 50.80 sec
 Live Time : 50.00 sec
 Dead Time : 1 %
 Counting Rate: 286 cps
 Energy Range : 0 - 20 keV

ZAF Method Standardless Quantitative Analysis

Fitting Coefficient : 0.8299

Element	(keV)	mass%	Error%	At%	Compound	mass%	Cation	K
Be K	0.110	13.81	0.08	17.67				75.1801
C K	0.277	85.65	0.24	82.23				26.9364
Fe K	6.398	0.11	0.02	0.02				1.3059
Ni K	7.471	0.43	0.03	0.08				4.7451
Total		100.00		100.00				



6154
 Кавалер В.В.
 1955.07

Изм.	Лист	№ докум.	Полю.	Дата	Сосуд-реактор	Лит.	Масса	Листов
Разраб.								1:2
Пров.						Лист 1		Листов 7
Утв.					Сборочный чертеж	Б. Т. П. П. РЕМ. ЗАВОД		

















Результаты анализа проб шаровых конкреций урочища Жингылды

Наименование соединения	Номер пробы			
	Ядро	1-ая сфера	2-ая сфера	Поверхность шара
1. Железо, в пересчете на Fe_2O_3 , %	88,7	17,2	10,8	4,6
2. Кремний, в пересчете на SiO_2 , %	8,0	60,8	58,6	75,2
3. Кальций, в пересчете на CaO , %	не обн.	не обн.	не обн.	не обн.
4. Магний, в пересчете на MgO , %	не обн.	не обн.	не обн.	не обн.
5. Цинк, в пересчете на ZnO , %	0,42	0,27	0,29	0,28
6. Кобальт, в пересчете на CoO , %	0,08	0,06	0,06	0,08
7. Никель, в пересчете на NiO , %	0,56	0,47	0,42	0,58
8. Свинец, в пересчете на PbO , %	0,11	0,08	0,07	0,09
9. Медь, в пересчете на CuO , %	0,016	0,010	0,012	0,013
10. Кадмий, в пересчете на CdO , %	не обн.	не обн.	не обн.	не обн.
11. Сульфаты, (SO_4^{2-}) , %	0,76	1,19	0,96	1,36
12. Карбонаты (CO_3^{2-}) , %	не обн.	не обн.	не обн.	не обн.



Результаты анализа проб шаровых конкреций горы Шеркала

Наименование ингредиента, %	Проба		
	вмещающая порода	внутришаровая конкреция	внутри шара
1. SiO ₂	92	84,3	56,3
2. Fe ₂ O ₃	1,2	5,5	17,6
3. NiO,	0,0012	не обн.	0,0004
4. ZnO,	0,0007	0,0027	0,0005
5. CuO,	0,0008	0,0015	0,0010
6. PbO,	0,0010	0,0018	0,0028
7. CoO,	не обн.	0,0004	0,0003
8. CdO,	не обн.	не обн.	не обн.
9. SO ₄ ²⁻ ,	0,47	0,28	2,7
10. CO ₃ ²⁻ ,	не обн.	не обн.	не обн.
11. CaO,	0,4	0,4	0,3



Наименование ингредиента, %	Проба		
	Ядро (темная часть)	Ядро (светлая часть)	Поверхность шара
1. Fe ₂ O ₃ ,	2,4	3,4	3,8
2. NiO,	0,0036	0,0035	0,0037
3. ZnO,	0,0047	0,0038	0,0044
4. CuO,	0,0053	0,0038	0,0046
5. PbO,	0,0038	0,0037	0,0037
6. CoO,	0,0028	0,0028	0,0030
7. CO ₃ ²⁻ ,	31,5	27,1	34,8
8. CaO,	50,5	52,5	53,3
9. SiO ₂	39,1	38,1	36,6

- Результаты анализа проб шаровых конкреций урочища Онды

